

弦の場の理論における 一般化された共変ゲージについて

浅野雅子（大阪府大）

ref.)

M. Asano and M. Kato,

‘New covariant gauges in string field theory,’

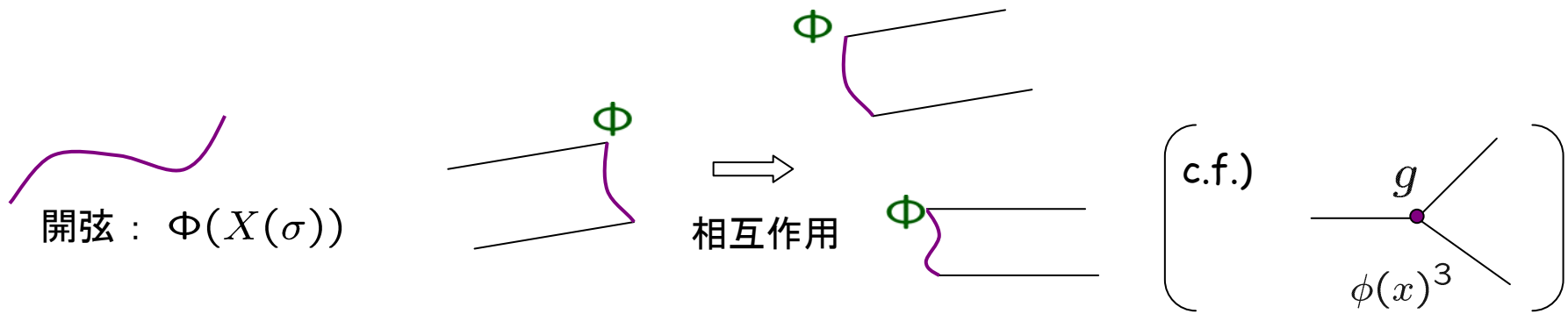
PTP 117 (2007) 569 (hep-th/0611189)

‘Level Truncated Tachyon Potential in Various Gauges,’

JHEP01(2007)028 (hep-th/0611190)

+ α

弦の場の理論 (SFT) ... 弦の第二量子化



ボソンの開弦の場の理論

- 運動項

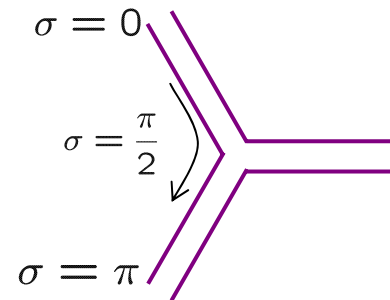
$$S = -\frac{1}{2} \langle \Phi, Q\Phi \rangle \quad \text{with} \quad \delta\Phi = Q\Lambda \quad (\text{ゲージ対称性})$$

- 相互作用項

e.g., for Witten's OSFT (Witten, 1986),

$$S = -\frac{1}{2} \langle \Phi, Q\Phi \rangle - \frac{g}{3} \langle \Phi, \Phi * \Phi \rangle$$

$$\text{with} \quad \delta\Phi = Q\Lambda + g(\Phi * \Lambda - \Lambda * \Phi)$$



・ 弦の場

$$\Phi(X^\mu(\sigma), c(\sigma), b(\sigma))$$

$$(\mu = 0, \dots, 25)$$

$$\begin{array}{ccc} \cup & \cup & \cup \\ \alpha_n^\mu & c_n & b_n \end{array}$$

$$\Phi \sim \int d^{26}p \left(\underbrace{\phi(p)}_{\substack{\uparrow \\ \text{tachyon} \\ m^2 = -1}} |p, \downarrow\rangle + \underbrace{[A_\mu(p) \alpha_{-1}^\mu + \chi(p) c_0 b_{-1}]}_{\substack{\uparrow \\ \text{gauge 場} \\ m^2 = 0}} |p, \downarrow\rangle + \underbrace{\dots}_{\substack{\uparrow \\ m^2 = 0}} \right) + \underbrace{\dots}_{\substack{\uparrow \\ m^2 = 1, 2, 3 \dots}} \quad (\alpha' = 1)$$

gauge 変換

※ ∞ 個の場 ($m^2 = 1, 2, 3 \dots$)

with ゲージ自由度: ∞

→ gauge 固定: 要

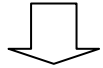
通常, Siegel ゲージ を用いる.

$$b_0 \Phi = 0$$

通常, Siegel ゲージ を用いる.

$$b_0 \Phi = 0$$

共変ゲージ (ゲージ理論のFeynman gauge に対応)



他のゲージ固定条件?

ヒント

ゲージ理論の共変ゲージ: ゲージパラメーター α

ゲージ理論 (*)

SFT

{	$\alpha = 1$	Feynman gauge	←	Siegel gauge
	$\alpha = 0$	Landau gauge	←	{ ?
	⋮			

$$\left[(*) S_{a(\alpha)}^{\text{gauge}} = \int d^{26}x \left[-\frac{1}{4} F_{\mu\nu} F^{\mu\nu} + B \partial_{\mu} A^{\mu} + \frac{\alpha}{2} B^2 + i \bar{c} \partial_{\mu} \partial^{\mu} c \right] \right]_3$$

結果

1. 弦の場の理論の新しい共変ゲージ(コ Siegelゲージ)を与えた.

- ・ 1- パラメーター a ($|a| \leq \infty, a \neq 1$) $a = 0$

2. ゲージ固定作用の構成

- ・ BRST 不変
- ・ ゲージ理論の α ゲージでのゲージ固定作用に対応 ($\alpha = \frac{1}{(a-1)^2}$)

⇒ プロパゲーター、振幅

- ・ 振幅のゲージ不変性、対称性、...

3. 応用: タキオンポテンシャル $V(\phi)$ の解析

- ・ ゲージ (\Leftrightarrow パラメーター a) を選ぶ.

→ $V(\phi)$: (ゲージ依存しない)期待される振る舞いを得る

1. 弦の場の理論の新しい共変ゲージ

○ 準備

・ 弦の場

$$\Phi_1 = \phi^{(0)} + c_0 \omega^{(-1)} \quad (b_0 \phi^{(0)} = 0)$$

$$\left(\begin{array}{l} \text{ex. } \phi^{(0)} = \int \frac{d^{26}p}{(2\pi)^{26}} \left[\sum_{|f\rangle} |f^{(0)}\rangle \psi_{|f\rangle}(p) \right] \\ \left[\sum_{|f\rangle} |f^{(0)}\rangle \psi_{|f\rangle}(p) \right] = \phi(p) |p, \downarrow\rangle + A_\mu(p) \alpha_{-1}^\mu |p, \downarrow\rangle + \dots \end{array} \right)$$

・ BRST operator $Q^2 = 0$

$$Q = \tilde{Q} + c_0 L_0 + b_0 M \quad : (\text{ghost \#}) \rightarrow (\text{ghost \#}) + 1$$

$$L_0 = p^2 + \underbrace{N - 1}_{m^2}, \quad M = -2 \sum_{n>0} n c_{-n} c_n, \quad \tilde{Q}^2 = -L_0 M$$

○ ゲージ固定条件

$$\left[\text{※ 作用 (2次の項)} \quad S = -\frac{1}{2} \langle \Phi_1, Q\Phi_1 \rangle \quad \text{with} \quad \delta\Phi_1 = Q\Lambda_0 \right]$$

新しいゲージ条件: $-\infty \leq a \leq \infty \quad (a \neq 1)$

$$M\omega^{(-1)} + a\tilde{Q}\phi^{(0)} = 0$$

$$(\Phi_1 = \phi^{(0)} + c_0\omega^{(-1)})$$

* $a = 0$:

$$M\omega^{(-1)} = 0 \quad (\Leftrightarrow \omega^{(-1)} = 0)$$

$$\Leftrightarrow b_0\Phi_1 = 0 \quad \dots \text{「Siegel ゲージ」}$$

* $a = \infty$:

$$b_0c_0\tilde{Q}\Phi_1 = 0 \quad (\Leftrightarrow \tilde{Q}\phi^{(0)} = 0)$$

2. ゲージ固定作用

$$S_{\text{gauge}}^a = -\frac{1}{2} \sum_{n=-\infty}^{\infty} \langle \Phi_n, Q\Phi_{-n+2} \rangle - \frac{g}{3} \sum_{l+m+n=3} \langle \Phi_l, \Phi_m * \Phi_n \rangle + \sum_{n=2}^{\infty} \left(\langle (\mathcal{O}_a \mathcal{B})_{-n+3}, \Phi_n \rangle + \langle (\mathcal{O}_a \mathcal{B})_n, \Phi_{-n+3} \rangle \right)$$

$$\begin{cases} \Phi_n & (n \leq 0) & \dots \text{ ghost, ghost for ghost, ...} \\ \Phi_n & (n \geq 2) & \dots \text{ anti-ghost, ...} \\ \mathcal{B}_n = c_0 \beta^{(n-2)} & & \dots \text{ 補助場} \end{cases}$$

◆ S_{gauge} : BRST 不変

$$\delta_B S_{\text{gauge}} = 0$$

$$\left(\begin{array}{l} \delta_B \Phi_n = \eta(\mathcal{O} \mathcal{B})_n \quad (n > 1), \\ \delta_B \Phi_n = \eta(Q\Phi_{n-1} + g \sum_{k=-\infty}^{\infty} (\Phi_{n-k} * \Phi_k)) \quad (n \leq 1), \\ \delta_B \mathcal{B}_n = 0 \end{array} \right)$$

例: レベル $N=1$

$$\Phi^{N=1} = \phi^{N=1} + c_0 \omega^{N=1}$$

$$\begin{cases} \phi^{N=1} = \int \frac{d^{26}p}{(2\pi)^{26}} \frac{1}{\sqrt{\alpha'}} \left(\gamma(p)b_{-1} + A_\mu(p)\alpha_{-1}^\mu + i\bar{\gamma}(p)c_{-1} \right) |0, p; \downarrow\rangle \\ \omega^{N=1} = \int \frac{d^{26}p}{(2\pi)^{26}} \frac{1}{\sqrt{2}} \left(i\chi(p)b_{-1} + u_\mu(p)\alpha_{-1}^\mu + v(p)c_{-1} \right) |0, p; \downarrow\rangle \end{cases}$$

ゲージ固定作用 (場の再定義後)

$$\alpha = \frac{1}{(a-1)^2}$$

$$S_{a(\alpha), N=1}^{\text{quad}} = \int d^{26}x \left[-\frac{1}{4}F_{\mu\nu}F^{\mu\nu} + B\partial_\mu A^\mu + \frac{\alpha}{2}B^2 + i\bar{c}\partial_\mu\partial^\mu c - \frac{1}{2}\tilde{\chi}^2 + \frac{1}{2}\tilde{\beta}_{u_\mu}\tilde{u}^\mu + \frac{1}{4}\beta_v v \right]$$

$\left\{ \begin{array}{l} B \quad \text{Nakanishi-Lautrup 場} \\ c, \bar{c} \quad \text{FP ghost (anti-ghost) 場} \end{array} \right.$

$\alpha = 1$ ($a = 0$) Feynman ゲージ
(\leftarrow Siegel ゲージ)

$\alpha = 0$ ($a = \infty$) Landau ゲージ

○ プロパゲーター (※ Φ_1 に対して)

$$S_{\text{gauge}}^a \sim \langle \Phi_1, (c_0 L_0 + \dots) \Phi_1 \rangle + \dots$$

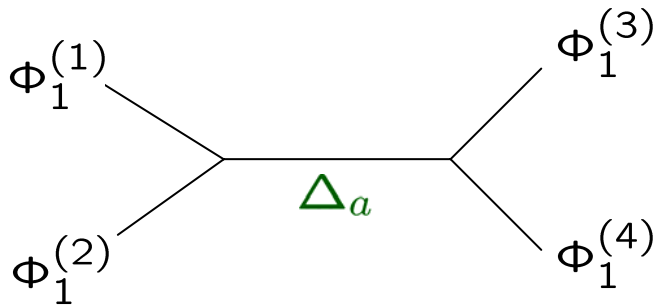
⇒ プロパゲーター Δ_a

$$\begin{cases} \text{Siegel ゲージ } (a = 0) : & \Delta_0 = \frac{b_0}{L_0} \\ \text{Landau ゲージ } (a = \infty) : & \Delta_\infty = \frac{b_0}{L_0} (1 - P_0) + c_0 W_1 \end{cases}$$

⇒ 振幅 (tree)

$$\begin{pmatrix} W_1 M \omega^{(-1)} = \omega^{(-1)} \\ P_0 = -\frac{1}{L_0} \tilde{Q} W_1 \tilde{Q} \end{pmatrix}$$

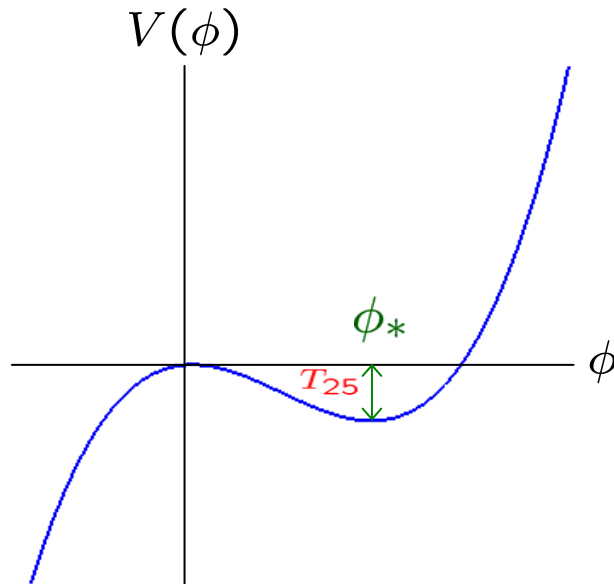
例:



: $Q\Phi_1^{(i)} = 0$ のとき、 a 不変.

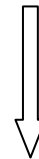
3. 応用：タキオンポテンシャル $V(\phi)$ の解析

Senの予想



$\phi = 0$ 摂動的真空：不安定

D25-brane



$\phi = \phi_*$ 非摂動的真空：より安定

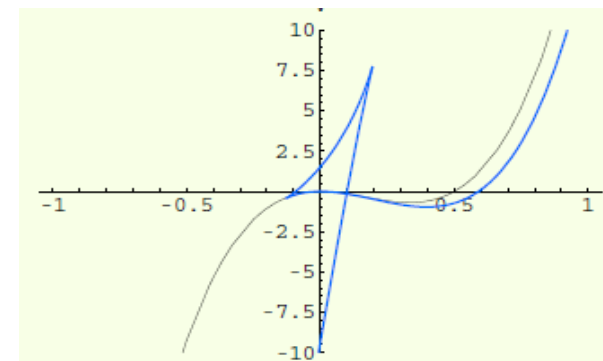
~~D25-brane~~

(\Leftrightarrow 閉弦の真空)

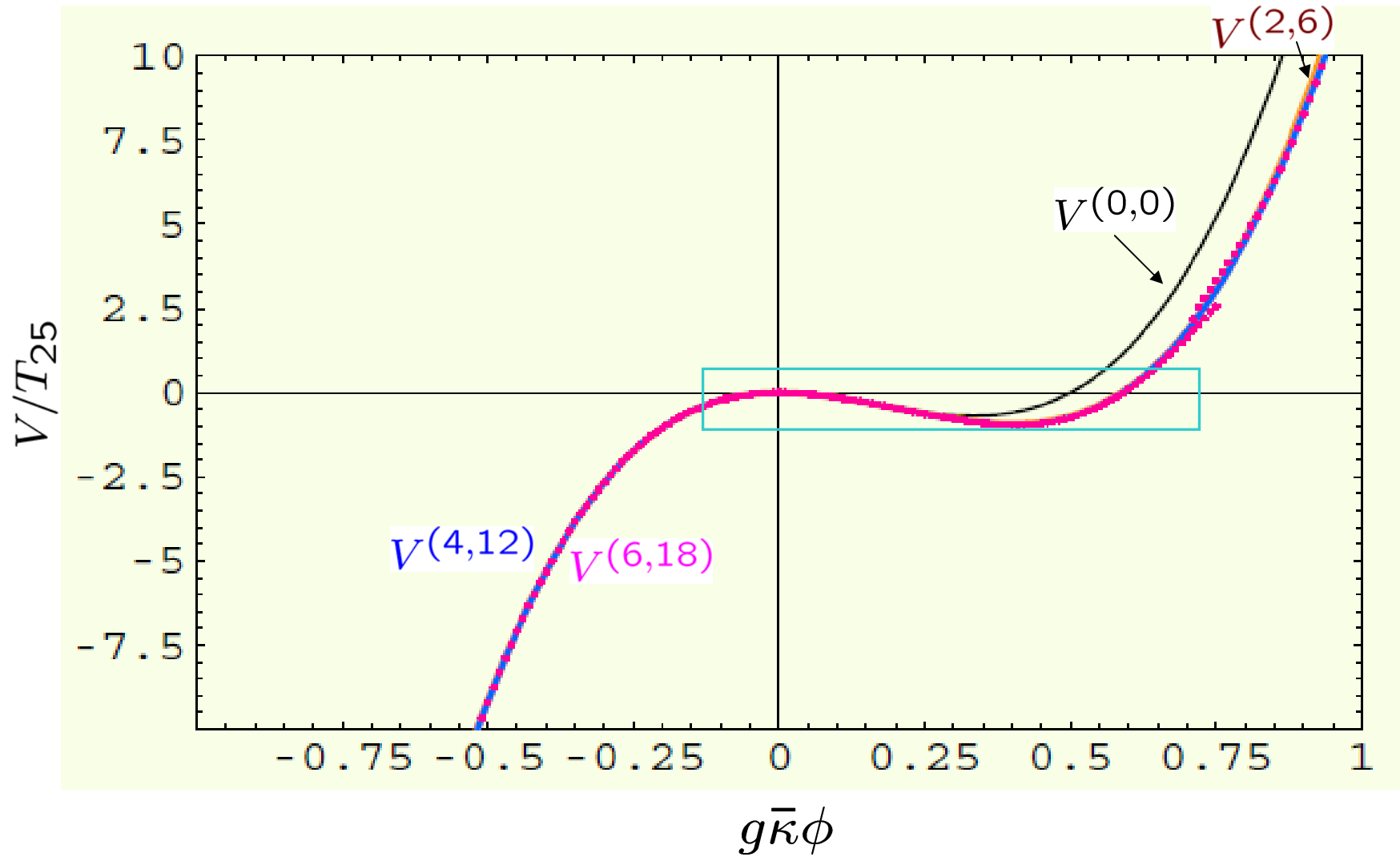
新しいゲージによるレベル切断近似による解析を行った。

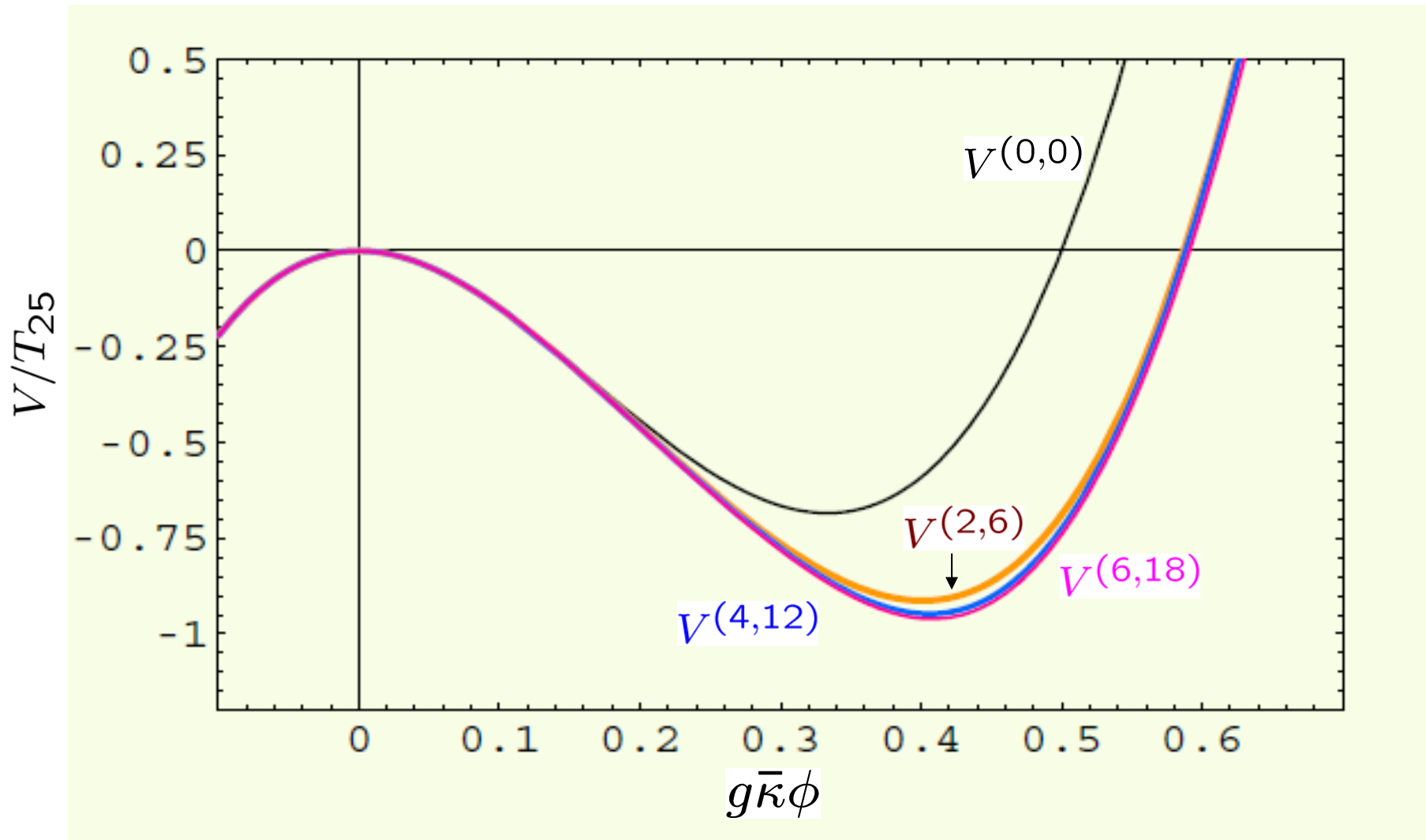
- $V(\phi)$ のゲージ依存性を調べた。
- Siegel ゲージの振る舞い：‘gauge artifact’

<Siegel ゲージでの $V(\phi)$ >



例: レベル (2,6), (4,12), (6,18) ($a = \infty$)





○ まとめと展望

◆ まとめ

- ・ 弦の場の理論の新しい共変ゲージを提案し、ゲージ固定作用を求めた.

パラメーター a :

$$\begin{cases} a = 0 & \text{Feynman-Siegel ゲージ} & b_0 \Phi_1 = 0 & (\Leftrightarrow \omega^{(-1)} = 0) \\ a = \infty & \text{Landau ゲージに対応} & b_0 c_0 \tilde{Q} \Phi_1 = 0 & (\Leftrightarrow \tilde{Q} \phi^{(0)} = 0) \end{cases}$$

* Landau ゲージの特徴:

補助場として残る場が多く、Siegel ゲージよりも作用が簡単

- ・ プロパゲーターを求めた。 \Rightarrow 振幅の計算
- ・ Tachyon potential の解析へ応用
 - ・ $V(\phi)$ のゲージ(非)依存性
 - ・ Siegel ゲージの振る舞い: 'gauge artifact'

◆ 展望

- 振幅 (tree, loop) の計算
→ ゲージ不変性、対称性、...
- 相互作用項を含めた作用の特徴 (特に、Landau ゲージ)
- Schnabl の frame での応用の可能性

Schnabl gauge: $\mathcal{B}_0 \Phi_1 = 0$ ⇒ 拡張?



Siegel ゲージ

⇒ 応用